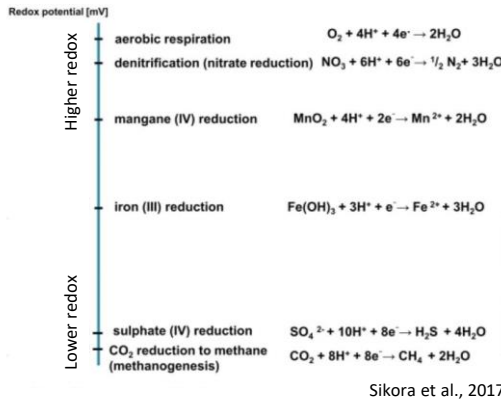


# Online overvåking av hydrogensulfid i norske RAS-anlegg

Fernandes, P.M. ([paulo.fernandes@niva.no](mailto:paulo.fernandes@niva.no)), Steigum, E., Furseth, K., Rojas-Tirado, P., Åtland, Å.  
Norsk Institutt for Vannforskning  
Thormøhlensgate 53D  
5006 Bergen

# Hvorfor H<sub>2</sub>S?

- Binder seg med jern i mitokondrielle cytokrom-enzym, hindrer cellulær respirasjon. Kan føre til nekrose, ødem, degenerasjon av ganglier og død
- LC<sub>50</sub>: 20-50 µg/L
- < 2 µg/L kronisk grense?
- Akutt dødelighet i RAS med 35 µg/L
- **Kronisk påvirkning fra H<sub>2</sub>Salar (0, 1, 5 µg/L)** - Lazado et al.  
<https://nofima.no/resultater/folsom-nese-for-giftig-gass/>)
- Biofiltrene er potensiell hotspot (Rojas-Tirado et al., 2021)
- Mer NO<sub>3</sub> i vann = mindre H<sub>2</sub>S (Schwermer et al., 2010)
  - Nitrat er foretrukket elektronakseptor overfor sulfat
  - Trenger at auto- eller heterotrofe denitrifiserende bakterier er tilstede
  - Nitrat har ingen direkte påvirkning på H<sub>2</sub>S (Bergstedt et al. 2022)
- Mer SO<sub>4</sub> i vann = mer H<sub>2</sub>S (Letelier- Gordo et al., 2020)



Sikora et al., 2017

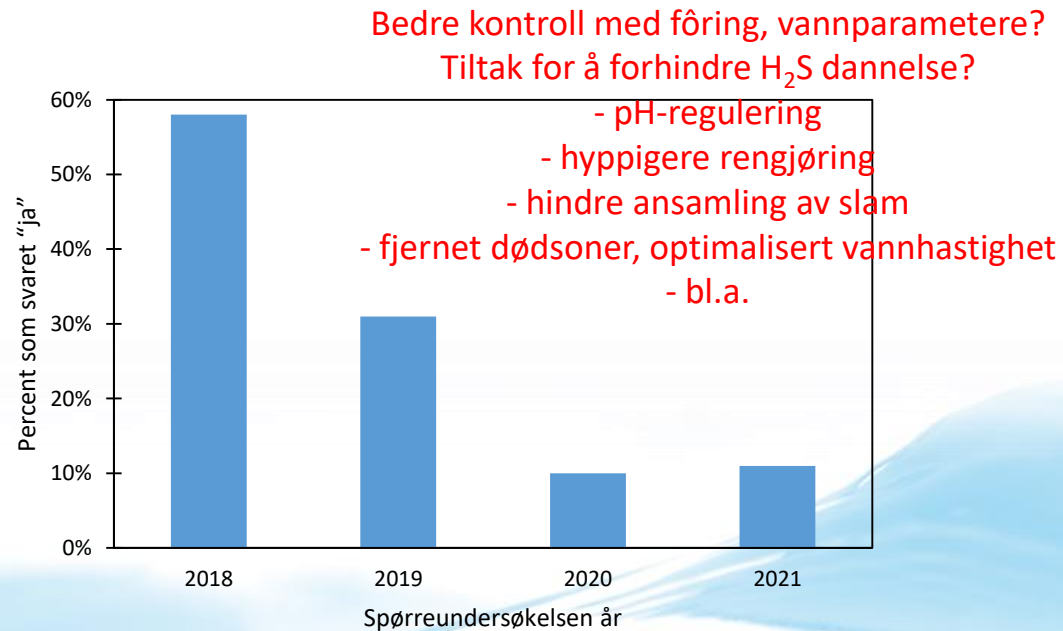


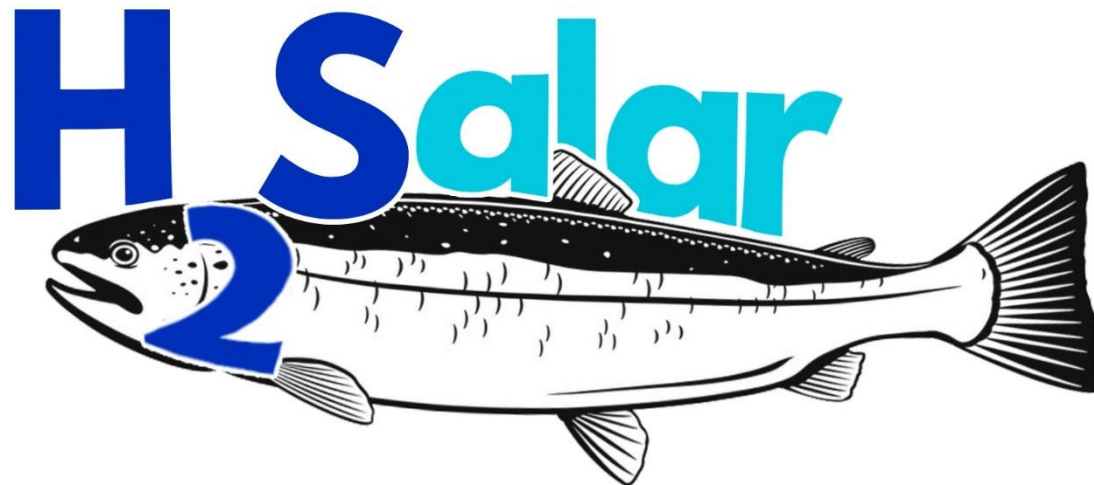
# Trender «Fiskehelserapporten 2021»

Furseth et al. (2022) - <https://www.vetinst.no/rapporter-og-publikasjoner/rapporter/2022/fish-health-report-2021>

Har dere erfaring med H<sub>2</sub>S problemer som påvirket velferden negativt?

- 2018: 57% (12/21)
- 2019: 31% (8/26)
- 2020: 10% (3/30)
- 2021: 11% (4/38)





## WP1. Survey of H<sub>2</sub>S levels and fish welfare in operative RAS farms (Leader: NIVA, Åse Åtland)

Task 1.1 Survey of H<sub>2</sub>S in different production sites (Participants: NIVA, DTU, NOFIMA)

# Online overvåking av H<sub>2</sub>S

- Tre RAS-anlegg, gjennom en produksjonssyklus, eks.: pre-smolt til smolt
  - SYS 1 Q1 2021
  - SYS 2 Q2-Q3 2021
  - SYS 3 Q2 2022
- Online overvåking av H<sub>2</sub>S, CO<sub>2</sub>, O<sub>2</sub>, korrigert for pH, salinitet og temperatur med Aquasense fra SeaRAS (Lien et al., 2022)
  - 4 prøvepunkter per anlegg: etter fiskekar, etter biofilter, etter degasser, inn i degasser
  - Container degassing gasses until equilibrium between gas and liquid phase within the container (gas-phase sensors)
  - Autokalibrering en gang per døgn
- Ekstra vannprøver fra samme prøvepunkter som Aquasense analysert for:
  - pH, ORP, alkalinitet, turbiditet, salinitet
  - KOF, TAN, NO<sub>2</sub><sup>-</sup>, NO<sub>3</sub><sup>-</sup>, TN, PO<sub>4</sub><sup>3-</sup>, TP, SO<sub>4</sub><sup>2-</sup>, H<sub>2</sub>S



# Fisk/ resultater

## SYS 1

Biofilter = FBB

Fiskekar vannstrøm = 1.65 x/t

Parameter	Dag 14	Dag 52	Dag 72
Biomasse (t)	116	200	271 99.9% survival
Fôring (t/d)	1.34	2.90	2.57
Salinitet (ppt)	2.4	2.5	2.4
O <sub>2</sub> – SeaRAS (mg/L)	11.10	9.79	10.57
CO <sub>2</sub> – SeaRAS (mg/L)	4.70	12.43	7.26
H <sub>2</sub> S – SeaRAS (µg/L)	0.273	0.274	0.158
H <sub>2</sub> S – sulfulla (µg/L)	<8	<8	<8
NO <sub>3</sub> -N (mg N/L)	15.7	31.2	46.6

## SYS 2

Biofilter = MBB

Fiskekar vannstrøm = 0.86 x/t

Parameter	Dag 6	Dag 25	Dag 65
Biomasse (t)	89	150	270 99.6% survival
Fôring (t/d)	0.99	2.29	1.69
Salinitet (ppt)	2.1	2.2	2.7
O <sub>2</sub> – SeaRAS (mg/L)	11.47	11.33	10.63
CO <sub>2</sub> – SeaRAS (mg/L)	4.86	6.90	10.46
H <sub>2</sub> S – SeaRAS (µg/L)	0.143	0.154	0.258
H <sub>2</sub> S – sulfulla (µg/L)	<8	<8	<8
NO <sub>3</sub> -N (mg N/L)	6.4	4.6	4.5

Selv om det er relativt høyt nitrat, var det fortsatt målt hydrogensulfid i lav konsentrasjonen

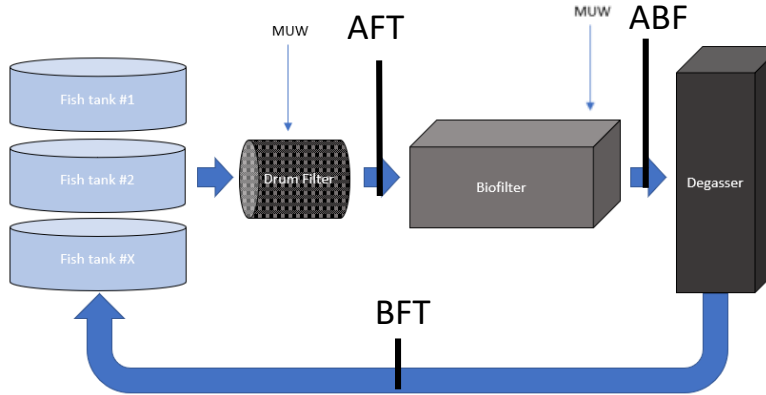
Nitrat har ingen direkte påvirkning på H<sub>2</sub>S (Bergstedt et al. 2022)

# Massebalanse

$$M = \Delta([IN] - [OUT]) * Q$$

Positivt: Fjerning/reduksjon

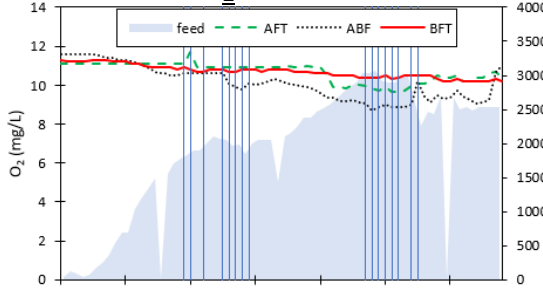
Negativt: Produksjon/økning



Lokasjon	Acr	Site 1	Site 2
Fiskekar	FT	$= ([BFT]-[AFT])*Q_s - MUW$	$= ([BFT]-[AFT])*Q_s$
Biofilter	BF	$= ([AFT-ABF])*Q_s$	$= ([AFT]-[ABF])*Q_s - MUW$
Degasser	DG	$= ([ABF]-[BFT])*Q_s$	$= ([ABF]-[BFT])*Q_s$
Spedevann	MUW	$= ([BFT]-[AFT])*Q_m$	$= ([AFT]-[ABF])*Q_m$

# SYS 1

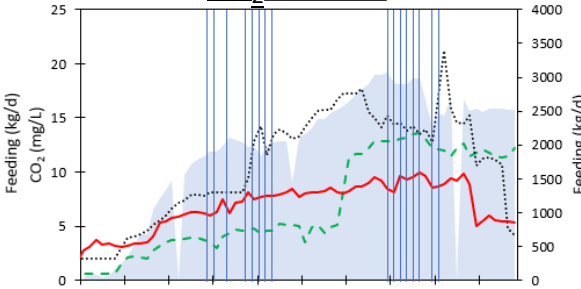
## O<sub>2</sub> trender



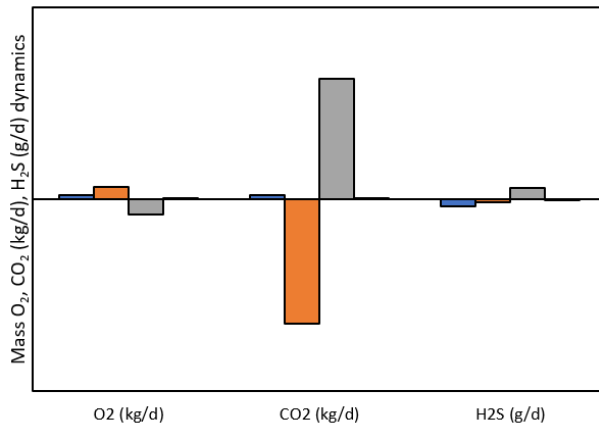
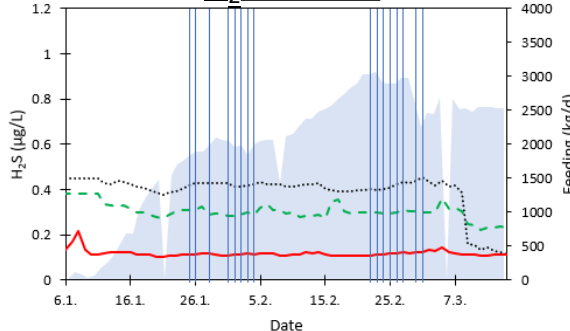
Dato	20/1	20/2	15/3
Biomass (t)	116	200	271

- O<sub>2</sub> omvendt fra føring, biomasse
- CO<sub>2</sub> trender fulgte føring og biomasse økning
- Fiskekar forbrukt O<sub>2</sub>, produsert H<sub>2</sub>S
  - Lufting i fiskekar balansert O<sub>2</sub>
- FBB produsert CO<sub>2</sub>, H<sub>2</sub>S, forbrukt O<sub>2</sub>
  - Tydelig økning i CO<sub>2</sub> kort etter FBB spyling
- Degasser fjernet CO<sub>2</sub>, H<sub>2</sub>S, økte O<sub>2</sub>
- Spedevann med liten påvirkning på CO<sub>2</sub>, O<sub>2</sub>, H<sub>2</sub>S

## CO<sub>2</sub> trender



## H<sub>2</sub>S trender

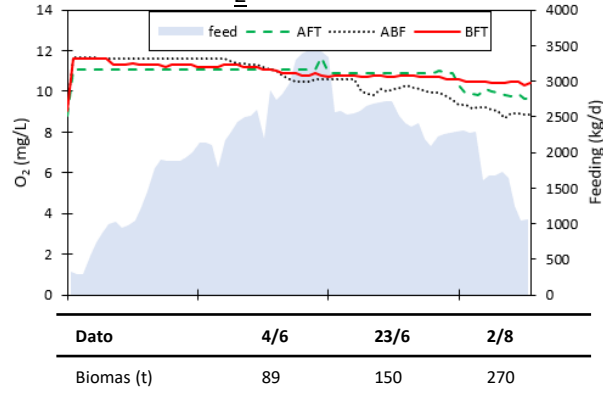


Positivt: Fjerning/reduksjon

Negativt: Produksjon/økning

# SYS2

## O<sub>2</sub> trends



- O<sub>2</sub> omvendt korrelert med biomasse

- CO<sub>2</sub> fulgte biomasse økning

- Fiskekar økt H<sub>2</sub>S, CO<sub>2</sub>, lav påvirkning på O<sub>2</sub>

- MBB redusert H<sub>2</sub>S, O<sub>2</sub>, CO<sub>2</sub>

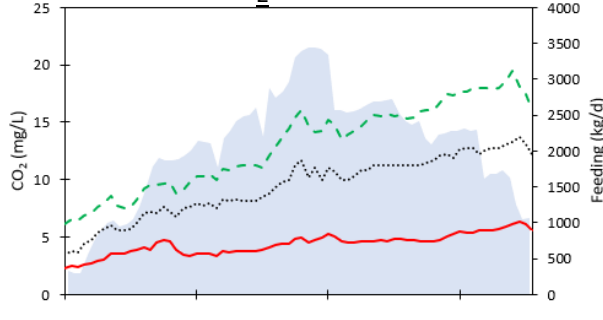
- Utluftning av gasser og nitrifikasjonseffekt

- Degasser fjernet CO<sub>2</sub>, H<sub>2</sub>S, økt O<sub>2</sub>

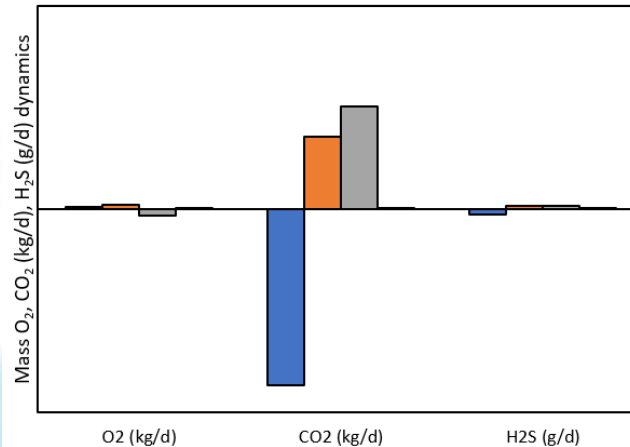
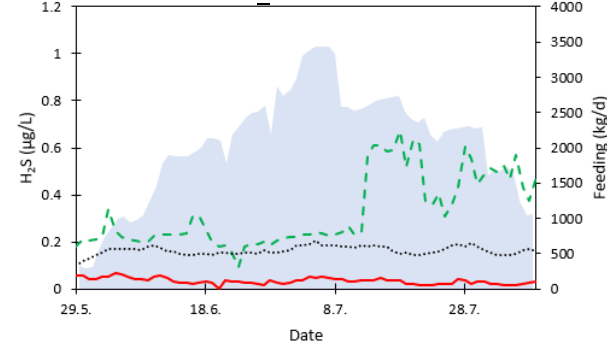
- Spedevann med lav påvirkning på CO<sub>2</sub>, O<sub>2</sub>, H<sub>2</sub>S

- Økt CO<sub>2</sub> fjerning pga. lokasjonen (inn MBB) – ikke målt SPV/MUW

## CO<sub>2</sub> trends



## H<sub>2</sub>S trends



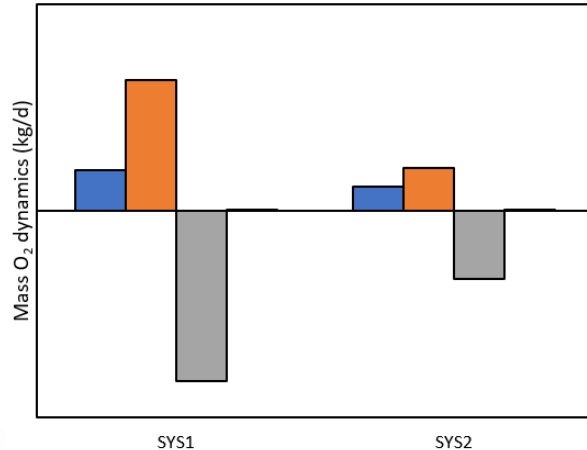
Positivt: Fjerning/reduksjon

Negativt: Produksjon/økning

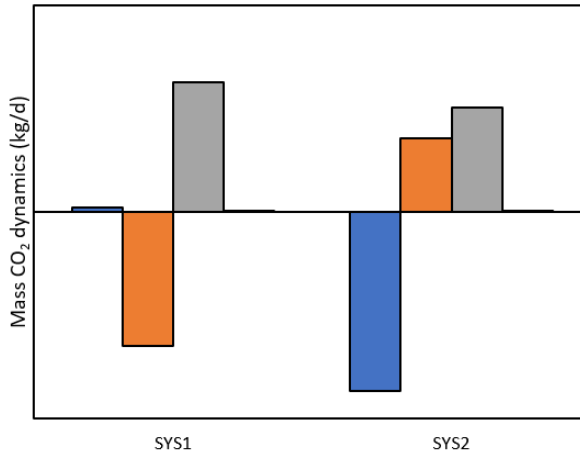
# Massebalanse

Positivt: Fjerning/reduksjon  
Negativt: Produksjon/økning

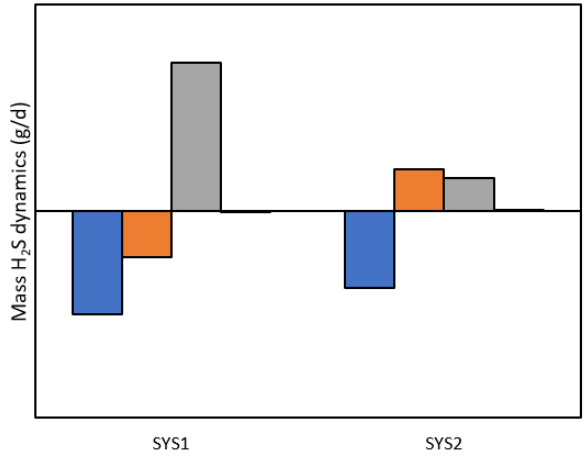
O<sub>2</sub> dynamikk



CO<sub>2</sub> dynamikk



H<sub>2</sub>S dynamikk



- NO<sub>3</sub>-N hindrer ikke H<sub>2</sub>S produksjon i RAS-anlegget
- Vanlig gassfjerning utstyr klarer ikke å ta ut lave nivåer av H<sub>2</sub>S
- Tydelig økning i CO<sub>2</sub> produksjon samt O<sub>2</sub> forbruk fra FBB kort etter spyling
- FBB produserer mer CO<sub>2</sub> og H<sub>2</sub>S; MBB fjerner mer CO<sub>2</sub> og H<sub>2</sub>S
- Lufting, vannhastighet og vannstrøm, hydrodynamikker påvirker gass balansene
  - Lengre oppholdstid i fiskekar (37 min i SYS1 vs. 70 min i SYS2 oppholdstid) øker CO<sub>2</sub> konsentrasjonen

# Neste skritt for oss

- Analyserer data fra 3. anlegg (høyere salinitet)
- Inkludere i massebalanse:
  - Korreksjon av gass med avgassing målingspunkter
  - Gassdynamikk/kg fôr
  - Gassdynamikk/kg fisk
  - Gassdynamikk/biofilter  $A_{media}$

# Prøver fra andre norske anlegg

- Kommersiell implementasjon av «Sulfulla»- metoden som er beskrevet i Letelier-Gordo et al. (2020)
- 339 prøver analysert mellom 2021-2022
  - Blanding mellom mistenkt H<sub>2</sub>S-relatert dødelighet og årlig overvåkningsprogrammer

147 positive for S <sup>2-</sup>	
68	Slam-relatert
48	Høyt partikkelinnhold
8	Vanninntak problemer
23	Ikke oppgitt opprinnelse

LC<sub>50</sub>: 20-50 µg/L  
< 2 µg/L kronisk grense?  
Akutt dødelighet i RAS med 35 µg/L

114 korrigert for pH, temp, sal	
0-2 µg H <sub>2</sub> S/L	15
2-5 µg H <sub>2</sub> S/L	30
5-20 µg H <sub>2</sub> S/L	58
20-35 µg H <sub>2</sub> S/L	8
35-50 µg H <sub>2</sub> S/L	3
> 50 µg H <sub>2</sub> S/L	0

- Partikkelakkumulering som vanligste årsak til H<sub>2</sub>S
- Fører til H<sub>2</sub>S-nivåer under LC<sub>50</sub> terskel

# Takk for oppmerksomheten



## H2Salar

Prevalence and consequences of hydrogen sulphide in land-based Atlantic salmon production (NFR prosjektnr. 300285)

<https://h2salar.no/>



DTU Aqua  
National Institute of Aquatic Resources



## AquaSulfat

Sulphate removal by membrane filtration technology to reduce the risk of fish death due to H2S formation in recirculating aquaculture systems (RAS) (NFR prosjektnr. 296545)



DTU Aqua  
National Institute of Aquatic Resources

Vi takker også for innsats og godt samarbeid med Eldar Lien, Morten Aga, Geir Valsvik, Jan Vidar Nordstrand, Vincent Martinez (SeaRAS)



# Litteratur

Bergstedt, J.H., Skov, P.V., Letelier-Gordo, C.O. 2022. Efficacy of H<sub>2</sub>O<sub>2</sub> on the removal kinetics of H<sub>2</sub>S in saltwater aquaculture systems and the role of O<sub>2</sub> and NO<sub>3</sub>. *Water Res.* 222: 118892.

Furseth, K., Steigum, E., Åland, Å. 2022. Chapter 8.5 Water Quality, pp 154-157. *In Sommerset, I., Walde, C.S., Jensen, B.B., Wiik-Nielsen, J., Bornø, G., Oliveira, V.H.S., Haukaas, A., Brun, E. (eds.), 2022, Fiskehelserapporten 2021. Veterinærinstituttets rapportserie nr. 2a/2022, 208 pp.*

Letelier-Gordo, C.O., Aalto, S.L., Suurnäkki, S., Pedersen, P.B. 2020. Increased sulfate availability in saline waters promotes hydrogen sulfide production in fish organic waste. *Aquacultural Engineering* 89: 102602

Lien, E., Valsvik, G., Nordstrand, J.V., Martinez, V., Rogne, V., Hafsås, O., Queralt, S., Fathi, B.S., Aga, M., 2022. The SeaRAS AquaSense™ System: Real-Time Monitoring of H<sub>2</sub>S at Sub µg/L Levels in Recirculating Aquaculture Systems (RAS). *Front. Mar. Sci.* 9, 1–8.

Rojas-Tirado, P.A., Aalto, S.L., Åland, Å., Letelier-Gordo, C.O. 2021. Biofilters are potential hotspots for H<sub>2</sub>S production in brackish and marine water RAS. *Aquaculture* 536: 736940

Schwermer, C.U., Ferdelman, T.G., Stief, P., Gieseke, A., Rezakhani, N., van Rijn, J., de Beer, D., Schramm, A. 2010. Effect of nitrate on sulfur transformations in sulfidogenic sludge of a marine aquaculture biofilter. *FEMS Microbiology Ecology* 72: 476-484.

Sikora, A., Detman, A., Chojnacka, A., Blaszczyk, M.K. 2017. Chapter 14: Anaerobic Digestion: I. A common process ensuring energy flow and the circulation of matter in ecosystems, pp 271-301. *In Jozala, A.F. (eds.), Fermentation Processes.*